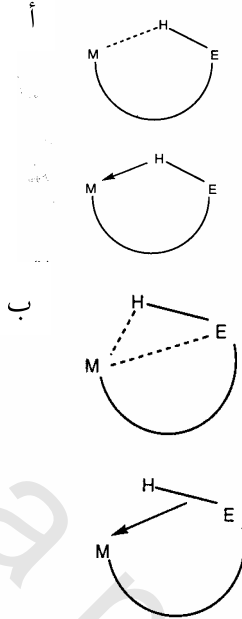


التداخلات الثانوية (الأوجستية)

AGOSTIC INTERACTIONS

في معقدات الفلزات الانتقالية التي لها أقل من ١٨ إلكترون تكافؤ حيث تكون ذرة الفلز الكتروفيلية بمقدار مقبول قد تحدث تداخلات ثانوية بين الفلز وروابط C-H ، Si-H ، N-H (عامه E-H) المقترنة بالليجاندا. هذه التداخلات الثانوية عامة أضعف من الروابط المعهودة بين الليجاندا والفلز وقد ينتج منها الاتصالات M...H ، كما هو موضح في الشكل رقم (١.١أ)، وهي أقصر من مجموع أنصاف أقطار فان درفالس أو الاتصالات ثلاثية المركز حيث تساهم فيها كل من ذرة الفلز والهيدروجين والذرة E كما هو موضح في الشكل رقم (١.١ب) مثل هذه التداخلات تعرف بالتداخلات الأوجستية.

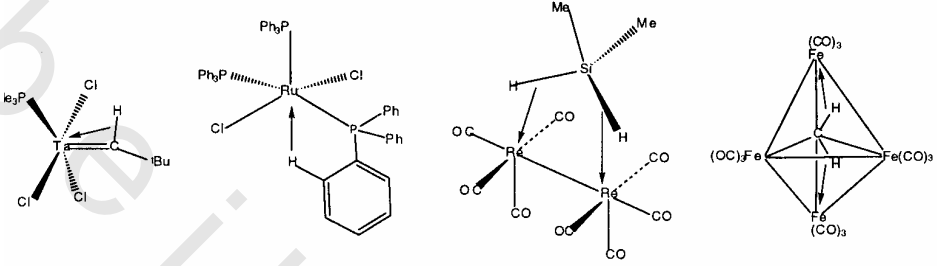
هذه التداخلات الثانوية الرابطة تمثل عموماً برابطة تناسقية إما من ذرة الهيدروجين إلى الفلز كما في (أ) أو من الرابطة E-H إلى الفلز كما في (ب). إن كل تداخل أوجستي يزيد رسمياً العدد الكلي للإلكترونات التكافؤ إثنين ويمكن اعتبار ذلك طريقة لجعل الجزيء ناقص الإلكترونات يطابق كثيراً قاعدة العدد الذري الفعال. لهذا التداخل قوة تماثل تقريباً قوة الرابطة الهيدروجينية.



الشكل رقم (١, ١). توضيحات لكل من (أ) تداخلات ثانوية مفتوحة و(ب) مغلقة

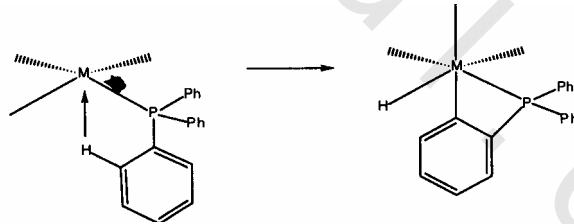
ويمكن عرض حدوث التداخلات الأوجستية بطريقة لا لبس فيها وذلك عن طريق دراسات حيود النيوترون (يعتمد حيود الأشعة السينية على تشتت الإلكترونات وبالتالي فإنه ليس جيداً لتحديد مواقع ذرات الهيدروجين في البلورات) أو بإثبات عرضي قد يتراكم من معلومات طيفية مثلاً، بالنسبة لتداخلات C-H، التضامنية يخفض تردد شدة (C-H) إلى 2800 cm^{-1} تقريباً، ويتراوح طيف الطنين النووي المغناطيسي لنواة ^1H ويحتمل أن يكون مصحوباً بانخفاض في ثابت الأزواج $J_{\text{C-H}}$. لقد أظهرت دراسات حيود النيوترون إطالة للرابطة C-H بمقدار (3-10 pm) مقارنة بالفلور المصهور الذي وجد لروابط C-H (110 pm) كما أن المسافة بين الفلز والهيدروجين أطول بمقدار معتبر من تلك التي وجدت في معقدات هيدريد الفلزات ولكن قريبة بقدر كاف لتظهر بعضاً من ارتباط الفلز والهيدروجين (220 – 300 pm).

يوضح الشكل رقم (١،٢) بعض الأمثلة النموذجية لمركبات بها تداخلات أوجستية.



الشكل رقم (١،٢). بعض المركبات التي يتم فيها الارتباط (موضح بالأسهم).

إذا كانت مدارات d للفلز ممتلئة فإنه بمقدورها منح كميات معتبرة من الكثافة الالكترونية إلى الرابطة C-H نابذة الربط فإن التداخلات المتعاوضة قد تقود إلى إضعاف كافٍ للرابطة C-H بدرجة أن تنكسر في هذه الأوضاع فقد حدث تفاعل إضافة مؤكسدٍ يعطي معقداً حلقياً فلزياً كما هو ممثل بالتفاعل في الشكل رقم (١،٣).



الشكل رقم (١،٣). مثال لإنتاج معقد حلقي فلزي.

نموذج الائتلاف الزاوي

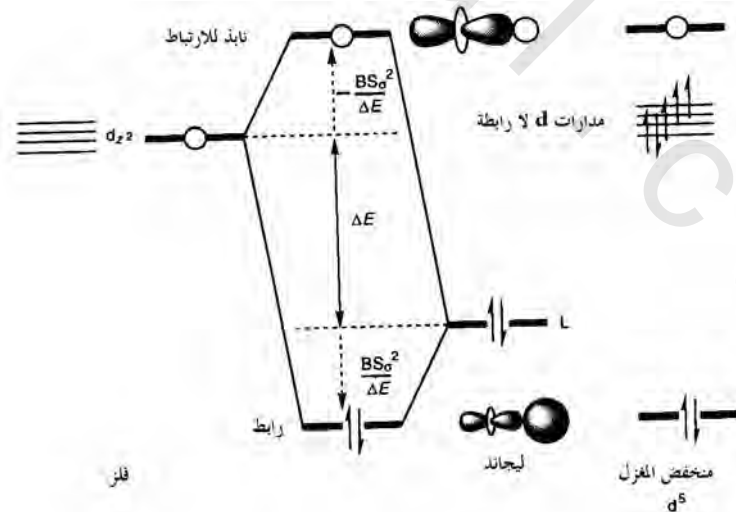
Angular overlap model

يؤسس نموذج الائتلاف الزاوي على شكل تقريبي جداً لنظرية المدارات الجزيئية ويركز الاهتمام على التداخلات بين مدارات nd التكافئية للفلز ومدارات الليجانيد. ولقد برهن ذلك على أنه مفيد بخاصة في تفسير الأشكال الهندسية لمعقدات الفلزات الانتقالية

والمواقع النسبية لليجاندا في السلسلات الطيفية. ويهمل هذا النموذج التدخلات بين مدارات الليجاندا ومدارات التكافؤ s و p ($n+1$) للفلز ولا يُضمن الآثار الناتجة من التنافر بين الالكترونات.

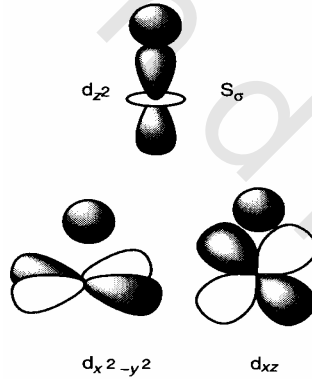
بناءً على نظرية التشويش من الرتبة الثانية فإن الاثتلاف بين مدار الليجاندا والفلز يعود إلى زوج من المدارات الجزيئية الرابطة والنابذة للارتباط. فالمدار الرابط يتضمن الاثتلاف المتطابق (البناء) بين مدارات الفلز والليجاندا في حين أن المدار النابذ للارتباط يتضمن الاثتلاف غير المتطابق.

استقرار هذه المدارات الجزيئية أو عدم استقرارها تحدده $\pm BS^2 / \Delta E$ بالنسبة إلى طاقات المدارات الذرية المنعزلة كما هو موضح بالشكل رقم (١.٤). يمثل الرمز S مكامل الاثتلاف للمدارات، ويمثل ΔE الطاقة الفاصلة بين المدارات و B هو ثابت التناسب. إن الليجاندا بدون استثناءات أكثر كهروسالبية من الفلز وبالتالي فإن مداره المانح يقع أسفل مدار الفلز على مقياس الطاقة الموضح بالشكل رقم (١.٤):



الشكل رقم (١, ٤). تحليل نظرية التشويش للارتباط في M-L.

يؤدي عدم التجانس في طاقات المدارات إلى تركيز المدارات الجزيئية الرابطة في الليجاند وتركيز المدارات النابذة في الفلز. ويعكس المدى لهذا التركيز الفرق في الكهروسالبية بين الليجاند والفلز، بمعنى أن فرقاً كبيراً في الكهروسالبية يؤدي إلى مدارات جزيئية أكثر تمركزاً. بالنسبة لمعقد بسيط مثل ML ($M = \text{فلز}$ ، $L = \text{ليجاند}$) حيث يتمركز الليجاند على طول المحور Z فإن الليجاند يتلف حصرياً مع المدار d_z^2 وله اثنتان صفرية مع مدارات d الأربعة المتبقية ويعرف مكامل الاثتلاف بين d_z^2 و L بالرمز S_σ (الشكل رقم ١,٥) والتداخلات المدارية التي تنشأ من الاثتلاف موضحة في الشكل رقم (١,٤) ومدار الليجاند مكاملات اثتلاف صفرية مع مدارات d الأربعة المتبقية لأنه يقع على سطوحها العقدية (الشكل رقم ١,٥). إذاً فإن طاقاتها تبقى غير متأثرة وتوصف بأنها غير رابطة.



الشكل رقم (١,٥). مكاملات اثتلاف الفلز والليجاند.

الشكل الأعلى يوضح تعريف S_σ . ويوضح الشكل الأسفل أن مكاملات الاثتلاف صفر مع مدارات d الأخرى.

وطالما أن الليجاند قاعدي لويسية فإن مداره المانح يحتله زوج الكتروني وينقل هذا الزوج الإلكتروني إلى المدار الرابط الأكثر استقراراً في المعقد ML . فإذا كان الفلز لا يساهم بأي إلكترون، بمعنى أن بنيته الالكترونية هي d^0 ، فبالتالي فإن طاقة الاستقرار

الكلية الناتجة من احتلال زوج الكتروني للمدار الرابط تساوي $2BS_{\sigma}^2 / \Delta E$ وإذا كان للفلز أي من البنيات d^1-d^8 الالكترونية فيمكن للالكترونات بالتالي السكن في المدارات اللارابطة الأربعة الموضحة بالشكل رقم (١،٤) بدون أن تؤثر على طاقة الاستقرار الكلية. وهذا يفترض بالطبع أنها تسكن هذه المدارات على طريقة أوفباو حيث يصبح كل مدار مسكوناً بزوج الكتروني في النهاية بمغزلين متعاكسين.

يحدث إسكان في المدار النابذ للارتباط عندما تكون للفلز البنية d^9 الالكترونية والاحتلال لهذا المدار النابذ للارتباط يؤدي إلى استقرار مقداره $BS_{\sigma}^2 / \Delta E$ فقط. فإذا احتل المدار النابذ ثنائياً (كما في معقد d^{10}) فإن طاقة الاستقرار الكلية تساوي الصفر طالما أن الآثار الرابطة والنابذة تلغي بعضها بعضاً.

يهمل نموذج الائتلاف الزاوي آثار التنافر الالكتروني وبالتالي فإنه يفضل ملء المدارات بطريقة أوفباو. ولكن، بالنسبة إلى مركبات الفلزات الانتقالية، وبالأخص تلك التي تتضمن الفلزات الانتقالية بالصف الأول، فإن آثار التنافر الالكتروني تقارن بطاقات الاستقرار الناشئة من آثار الارتباط التساهمي الموصوفة أعلاه، إذن يمكن لترتيب الكتروني عالي المغزل (الذي يتضمن الكترونات مدار dz^2 النابذ للارتباط) أن يحدث بالنسبة إلى البنيات الالكترونية d^5-d^9 . طاقات الاستقرار النسبية لهذه الترتيبات الإلكترونية عالية المغزل تقارن بتلك منخفضة المغزل بالجدول رقم (١،١):

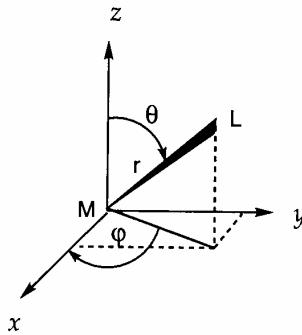
الجدول رقم (١،١). طاقات الاستقرار لمعدنات ML منخفضة المغزل.

البنية الالكترونية	طاقة الاستقرار بوحدات $BS_{\sigma}^2 / \Delta E$
d^0	2
d^1-d^8	2
d^9	1
d^{10}	0

الجدول رقم (١,١). طاقات الاستقرار لمعدّات ML عالية المغزل.

البنية الإلكترونية	طاقات الاستقرار بوحدات $BS_{\sigma}^2 / \Delta E$
d^0	2
$d^1 - d^4$	2
d^5	1
$d^6 - d^9$	1
d^{10}	0

بالنسبة إلى المعقد ML_2 الخطّي حيث كلا الليجاندين يتمركزان على طول المحور z فإنه ينتج نفس مخطط المدارات وذلك بسبب أن الليجانداً تأتلف مرة أخرى حصرياً مع d_z^2 ، إلا أن طاقة الاستقرار المقترنة بالمدارات الرابطة والنايذة تساوي $2BS_{\sigma}^2 / \Delta E$ لأن كل ليجاند يتسبب في طاقة استقرار قدرها $BS_{\sigma}^2 / \Delta E$ ، إن الأثار تجميعية، بطريقة عامة في معقد مثل ML_n لذا فإن مجموع طاقات الاستقرار المدارية ي ساوي $n BS_{\sigma}^2 / \Delta E$. وفي المعقد ثلاثي الأبعاد فإن الليجانداً لن تعد مؤتلفة حصرياً مع d_z^2 ويجب تطوير طريقة لحساب مكاملات الاثنلاف بين الليجانداً الموجود في أي موقع ومدارات d كل على انفراد فإذا تصور المرء أن الليجانداً تقع على سطح كروي والفلز في مركز الكرة فيصبح من السهل وصف مواقعها بحدود الإحداثيات القطبية الكروية r ، θ ، ϕ ، كما هو موضح بالشكل رقم (١,٦):



الشكل رقم (١,٦). مواقع ذرة الفلز M، والليجانداً L، بحدود الإحداثيات القطبية r ، θ ، ϕ .

فإذا حوفظ على أطوال الرابطة بين الفلز والليجانند ثابتة فبالتالي تصبح المتغيرات الزاوية هي فقط ذات اعتبار ويؤسس مكامل الاثتلاف بين الليجانند العلاقة عند θ ، ϕ ، وبين مدارات d المحددة على الدوال المثلثية التي تعرف مدارات d. أي الدوال التوافقية الكروية. يلخص الجدول رقم (١،٢) مكاملات الاثتلاف ذات العلاقة كدالة في θ ، ϕ .

الجدول رقم (١،٢). مكاملات الاثتلاف بحدود θ ، ϕ معبر عنها بحدود S_σ .

مدارات مؤتلفة	مكامل الاثتلاف	مكاملات الاثتلاف بحدود S_σ
d_{z^2}, σ	$S(d_{z^2}, \sigma)$	$[(1 + 3 \cos 2\theta) / 4] S_\sigma$
$d_{x^2 - y^2}, \sigma$	$S(d_{x^2 - y^2}, \sigma)$	$[(\sqrt{3} / 4) \cos 2\phi (1 - \cos 2\theta)] S_\sigma$
d_{xy}, σ	$S(d_{xy}, \sigma)$	$[(\sqrt{3} / 4) \sin 2\phi (1 - \cos 2\theta)] S_\sigma$
d_{xz}, σ	$S(d_{xz}, \sigma)$	$[(\sqrt{3} / 2) \cos \phi \sin 2\theta] S_\sigma$
d_{yz}, σ	$S(d_{yz}, \sigma)$	$[(\sqrt{3} / 2) \sin \phi \sin 2\theta] S_\sigma$

إن مرجعية مكاملات الاثتلاف هي الليجانند الواقع في القطب الشمالي للكرة $\theta = 0^\circ$ و $\phi = 0^\circ$ بمعنى أن الليجانند الواقع على طول المحور Z المؤتلف مع d_z^2 ، أي بتعويض $\theta = 0^\circ$ و $\phi = 0^\circ$ في معاملات S المعطاة بالجدول رقم (١،٢) ينتج مكاملات الاثتلاف المحسوبة المعطاة في الهامش. وهذا يقابل للوضع المبين بالشكل رقم (١،٥) ومكامل الاثتلاف لليجانند الواقع في القطب الجنوبي ($\theta = 0^\circ$ ، $\phi = 180^\circ$) ويمثل ذلك للقطب الشمالي.

بالنسبة لليجانند الواقع على خط الكرة الاستوائي فإن $\theta = 0^\circ$ و ϕ متغيرة. فإذا اختيرت المواقع التالية $\phi = 0^\circ$ ، 90° ، 180° و 270° وهي مناسبة لمعقد ثنائي الأوجه (الجدول رقم ١،٣ لإحداثيات الليجانند الديكارتية)، فينتج مكاملات الاثتلاف المعطاة بالجدول رقم (١،٤):

الجدول رقم (١,٣). الإحداثيات الديكارتية للبيجانداة معقد ثنائي الأوجه. يقع الفلز في المركز.

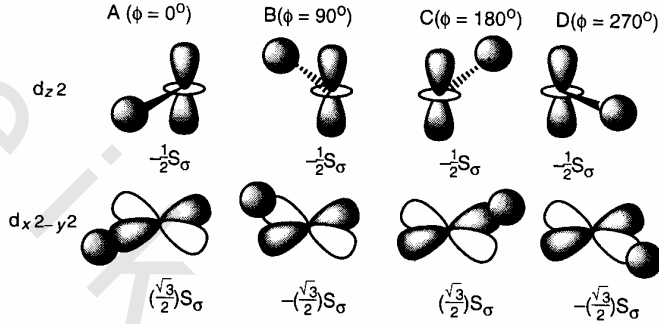
الموضع الملائم	θ°	ϕ°
1	0	0
2	90	0
3	90	90
4	90	180
5	90	270
6	180	0

الجدول رقم (١,٤). مكاملات الائتلاف لمعقد ثنائي الأوجه.

الموقع ϕ°	A 0	B 90	C 180	D 270
$S(d_z, \sigma)$	$-1/2S_\sigma$	$-1/2S_\sigma$	$-1/2S_\sigma$	$-1/2S_\sigma$
$S(d_{x^2-y^2}, \sigma)$	$\sqrt{3}/2S_\sigma$	$-\sqrt{3}/2S_\sigma$	$-\sqrt{3}/2S_\sigma$	$-\sqrt{3}/2S_\sigma$
$S(d_{xy}, \sigma)$	0	0	0	0
$S(d_{xz}, \sigma)$	0	0	0	0
$S(d_{yz}, \sigma)$	0	0	0	0

التوضيحات المبينة في الشكل رقم (١,٧) تدعم بطريقة تصويرية نتائج الحسابات. يتألف الليجاندا الموضع على خط الاستواء مع (الباقية) مدار dz^2 ونتيجة لذلك فإن إشارة مكامل الائتلاف ومقداره يتغيران بطريقة تناسبية مع تلك المحسوبة بموقع قطبي. وبما أن مدار d_z^2 متمائل دورانياً حول المحور z فإن مكاملات الائتلاف مستقلة عن ϕ وتساوي $-\frac{1}{2}S_\sigma$. لمدار $dx^2 - y^2$ سطحان عقديان يتطابقان على المحور z وبالتالي فإن ائتلاف المدارات الواقعة على خط الاستواء يعتمد على ϕ وخصوصاً فإن لفصوص المدار قمم عند $\phi = 0^\circ, 90^\circ, 180^\circ, 270^\circ$. إذن عند هذه المواقع تتساوي مكاملات الائتلاف ومقدارها يساوي $\frac{\sqrt{3}}{2}S_\sigma$ ، إلا أن إشارتها تتغير كل 90° بسبب وجود السطوح العقدية عند $\phi = 45^\circ, 135^\circ, 225^\circ, 315^\circ$ ،

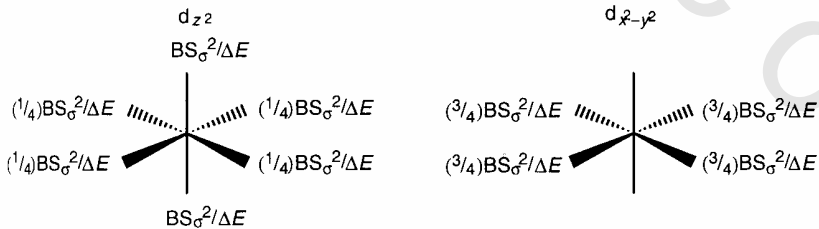
أي أن بالنسبة لهذه الزوايا فإن مكاملات الاثتلاف المحسوبة تساوي الصفر. وللمدارات d_{yz} , d_{xz} , d_{xy} اثتلاف صفري مع الليجانداات في معقد ثماني الأوجه (الجدول رقم ١,٤).



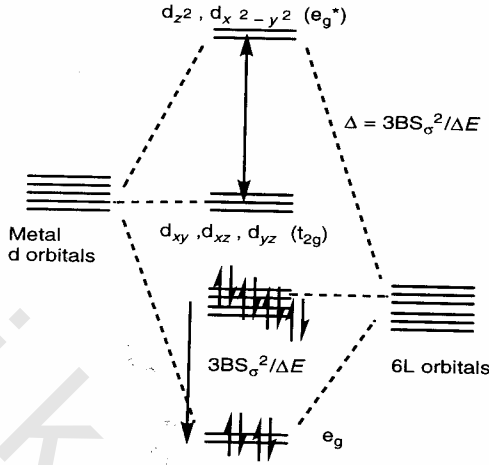
الشكل رقم (١,٧). مواقع مدارات الليجاندا ومدار d_{z^2} بذرة الفلز وقيم مكامل الاثتلاف.

إذن، فإن الصيغة الرياضية المعطاة في الجدول رقم (١,٢) تعرف مواقع السطوح العقدية وبشكل فصوص المدارات وبالتالي تمدنا بطرق مثلثية لحساب كيفية تغير مكاملات الاثتلاف بين الليجاندا ومدارات d بالفلز حين يتحرك الليجاندا على طول سطح كرة الليجاندا التخيلية.

بالنسبة لمعقد ثماني الأوجه فإن طاقات التداخل المداري ذات العلاقة يمكن حسابها من صيغ الاثتلاف المعطاة بالجدول رقم (١,٤) وتلخص النتائج في الشكل رقم (١,٨) وتكون الأساس لمخطط المدارات الجزئية التفصيلية الموضحة بالشكل رقم (١,٩).



الشكل رقم (١,٨). طاقات الاستقرار الكلية للمدارات الجزئية الناشئة من اثتلاف مدارات d_x^2 - و d_z^2 مع مدارات الليجاندا في معقد ثماني الأوجه. الازدواجات النابذة للارتباط موضوعة على الفلز y^2 منخفضة الاستقرار بمقدار $3BS_\sigma^2/\Delta E$.



الشكل رقم (٩، ١). مخطط المدارات الجزيئية لمعقد ثنائي الأوجه يوضح مواقع الأزواج الستة للإلكترونات لليجاندا.

ينخفض استقرار المدارات d_z^2 و $d_{x^2-y^2}$ بمقدار $3BS_\sigma^2/2E$ بالنسبة إلى المدارات d_{xy} , d_{xz} , d_{yz} التي تظل غير رابطة. وتجدر الإشارة إلى أن التساوي الطاقي للمدارات d_z^2 و $d_{x^2-y^2}$ يحافظ عليه طالما أنهما يتداخلان بمقدار متساوٍ مع مدارات الليجاندا في المعقد ثنائي الأوجه. وبالحدود النظرية للزمر فإنهما يوصفان بأنهما زوج مداري تماثلها e_g . والمدارات d_{xy} , d_{xz} , d_{yz} غير الرابطة تقابل لمجموعة متساوية ثلاثياً في الطاقة تماثلها t_{2g} . كذلك فإن الائتلافات الخطية لليجاندا التي تتجانس مع المدارات d_z^2 و $d_{x^2-y^2}$ فإن استقرارها يكون بمقدار $3BS_\sigma^2/\Delta E$.

إن احتلال المدارات الجزيئية الستة الواقعة أساساً على الليجاندا من الإلكترونات التي عرفت ابتداءً كأزواج إلكترونية يؤدي إلى طاقة استقرار كلية مقدارها $BS_\sigma^2/\Delta E$ أي $2nBS_\sigma^2/\Delta E$. لمعقد d^9 وبالنسبة للأيونات الفلزية ذات الترتيب الإلكتروني d^1-d^{10} فإن المدارات الموضوعة أصلاً في الفلز، أي t_{2g} و e_g مملئة. إن الطاقات الشبيهة المقترنة بالارتباط التساهمي بين مدار d للفلز والليجاندا، وكذلك طاقات التنافر بين الإلكترونات، فهي

مرة أخرى تؤدي إلى احتمالات مغزلية عالية ومنخفضة. ويُلخص الجدول رقم (١,٥) طاقات الاستقرار الكلية النسبية.

الجدول رقم (١,٥) أ). طاقات الاستقرار (بوحدة $BS_G^2/\Delta E$ لمعقدات ثمانية الأوجه ML_6 منخفضة المغزل.

الترتيب الإلكتروني	طاقات الاستقرار
d^0	12
$d^1 - d^6$	12
d^7	9
d^8	6
d^9	3
d^{10}	0

الجدول رقم (١,٥) ب). طاقات الاستقرار (بوحدة $BS_G^2/\Delta E$ لمعقدات ثمانية الأوجه ML_6 عالية المغزل.

الترتيب الإلكتروني	طاقات الاستقرار
d^0	12
$d^1 - d^3$	12
d^5	6
$d^6 - d^8$	6
d^9	3
d^{10}	0

إن حدوث ترتيب عالٍ أو منخفض المغزل في معقد بعينه يعتمد على مقدار طاقة انقسام مدار d ، $3BS_G^2/\Delta E$ ، بالنسبة إلى طاقة التزاوج اللازمة لتحريك الإلكترون من e_g إلى أحد مدارات t_{2g} .

بعض من نماذج طاقات المزاوجة وطاقات الانقسام المداري للمعقدات المائية ملخصة بالجدولين رقمي (١,٦ ، ١,٧). من الواضح أنه بالنسبة إلى معقدات الماء فإن طاقات المزاوجة أكبر من طاقات الانقسام للمجال الليجاندي. وإذا فإن من النادر أن

نلاحظ معقدات منخفضة المغزل بين المعقدات المائية لفلزات الصف الأول الانتقالية. بالنسبة لليجانادات التي تحدث انقسامات أكبر من طاقات المزوجة نلاحظ معقدات منخفضة المغزل. الليجاناد CN الذي بالذات يحدث انقسامات كبيرة فإنها دائماً تكون معقدات منخفضة المغزل (الجدول رقم ١,٧).

إن طاقات الانقسام لمدارات d في سلسلة من المعقدات يمكن أن تحدد عملياً بقياس التغيير في الطاقة اللازمة لانتقال الإلكترون من مدارات t_{2g} إلى e_g .

الجدول رقم (١,٦). طاقات التزاوج لبعض الأيونات kJ mol^{-1} .

Cr^{2+}	281
Mn^{2+}	305
Fe^{2+}	211
Co^{2+}	269
Fe^{3+}	359
Co^{3+}	251

الجدول رقم (١,٧). طاقات الانقسام المداري / kJ mol^{-1} .

$[\text{V}(\text{OH}_2)_6]^{2+}$	141
$[\text{Cr}(\text{OH}_2)_6]^{2+}$	167
$[\text{Mn}(\text{OH}_2)_6]^{2+}$	93
$[\text{Fe}(\text{OH}_2)_6]^{2+}$	124
$[\text{Co}(\text{OH}_2)_6]^{2+}$	111
$[\text{V}(\text{OH}_2)_6]^{3+}$	215
$[\text{Cr}(\text{OH}_2)_6]^{3+}$	214
$[\text{Mn}(\text{OH}_2)_6]^{3+}$	251
$[\text{Fe}(\text{OH}_2)_6]^{3+}$	164
$[\text{Co}(\text{OH}_2)_6]^{3+}$	218
$[\text{Ti}(\text{CN})_6]^{3-}$	280
$[\text{V}(\text{CN})_6]^{3-}$	318
$[\text{Cr}(\text{CN})_6]^{3-}$	419
$[\text{Fe}(\text{CN})_6]^{3-}$	416
$[\text{Co}(\text{CN})_6]^{3-}$	404

وتحدث طاقات انقسام مدارات d في المنطقة المرئية تقريباً من الطيف الكهرومغناطيسي وبالتالي يمكن الحصول عليها من معطيات الطيف الإلكتروني.

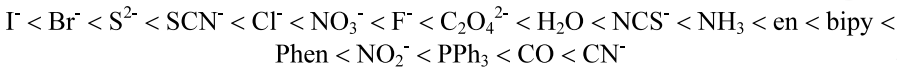
تتضمن الانتقالات الإلكترونية ترقية الإلكترونات داخل غلاف d، وبالتالي فإنها ممنوعة بقانون لابورت الانتقائي، بمعنى أنه من أجل السماح للانتقال الإلكتروني فلا بد أن يكون $\Delta l = \pm 1$ ، أي:

$$s \rightarrow p, p \rightarrow d, d \rightarrow f, \dots \text{ إلخ.}$$

قانون الانتقاء هذا ينطبق على المعقدات الفلزية بقدر ما تحتفظ بمركز تماثل، بمعنى أن مركز الانقلاب يحفظ التمييز بين s و p ومدارات p و d... إلخ وقانون الانتقاء الثاني. المهم هو انتقاء المغزل الذي ينص على أن $\Delta s = 0$. وبصورة عامة فإن قانون الانتقاء هذا يمكن التقيده به في حالة الإلكترونات الانتقالية من نوع d-d لكل أيونات العناصر الانتقالية ما عدا d^0 عالية المغزل.

يلاحظ انتقالات من نوع d-d ضعيفة لمجموعة كبيرة من معقدات العناصر الانتقالية في المنطقة المرئية، وبالرغم من أن الانتقالات تمنع منعاً كهروقطبياً، فإن السبب هو أن الاهتزازات المقترنة بروابط الفلز والليجانند يمكنها تحطيم مركز التماثل في الجزيئات ثمانية الأوجه عند لحظة الانتقال وبالتالي فإن الانتقالات ليست ممنوعة كلياً.

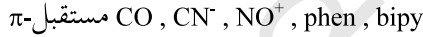
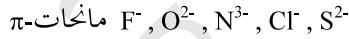
إذا غيرنا الليجانند بالنسبة لفلز معين فإن السلسلة الناتجة توصف بالسلسلات الطيفية الكيميائية. ولقد وجد أن هذه السلسلات شبيهة لكل أيونات العناصر الانتقالية ويمكن تلخيصها بشكل مختصر كما يلي:



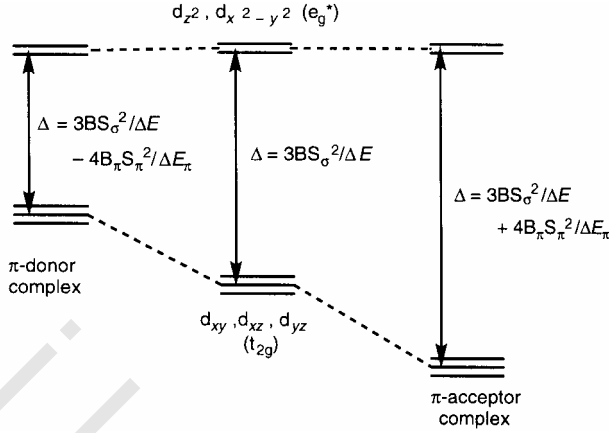
لا يمكن تفسير هذه السلاسل ببساطة بناءً على التأثيرات الالكتروستاتيكية، أي نموذج المجال البلوري، طالما أن ليجانندات مثل CO و NH_3 تظهر في السلسلة الطيفية الكيميائية في موقع أعلى من الليجانندات الأيونية الصغيرة مثل F^- . وبناءً على نموذج

يعرّف مكامل الاثنلاف π -القياسي، $\sigma\pi$ بطريقة مشابهة لذلك التعريف الموصوف سابقاً لـ: S_{σ} (الشكل رقم ١.١٠). هذا الاستقرار الناتج من الاثنلاف بين مدارات π لليجانند ومدار واحد من مدارات t_{2g} للفلز ينتج عنه طاقة استقرار كلية قدرها $4B_{\pi} \frac{S_{\pi}^2}{\Delta E}$ حيث B_{π} تمثل ثابت التناسب.

إن أثر الاثنلاف بين مدارات π لليجانند ومدارات d_{xy} ، d_{xz} للفلز يعتمد على إذا ما كان الليجانند مانحاً لـ π أم مستقبلاً. لمانحات π مدارات ممتلئة تقع أسفل مدارات d_{xy} ، d_{yz} ، d_{xz} وبالتالي لهم اثر تقليل طاقة الانقسام في حين أن لمستقبلات π مدارات فارغة تقع أعلى مدارات d_{xy} ، d_{yz} ، d_{xz} ولها أثر زيادة طاقة الانقسام. التداخلات المدارية المسئولة عن هذه الآثار موضحة بالشكل رقم (١.١١)، ومانحات ومستقبلات π هما:



إن الليجانندات الواقعة في أعلى السلاسل الطيفية الكيميائية إما أن تكون مانحاً جيداً لسجما ومستقبلاً لباي، أو مانحاً ضعيفاً لسجما ولكن مستقبلاً جيداً لباي (مثل CO). وتلك التي تقع أدنى السلسلة الطيفية الكيميائية مانحة ضعيفة لسجما ومانحة جيدة لباي. كما أن طاقة الانقسام تزداد بتحسّن الاثنلاف بين الفلز والليجانند ويظهر هذا الأثر واضحاً كلما غيرنا ذرة الفلز. وبالتحديد فإن طاقة الانقسام تزداد بالترتيب $3d < 4d < 5d$ لأن الزيادة في عدد الكم الرئيس تقود إلى تضخم مدارات d التي لها المقدرة على الاثنلاف بطريقة أفضل مع مدارات الليجانند أي أن S_{π} و S_{σ} تزداد في الحد $BS_{\sigma}^2/\Delta E$.

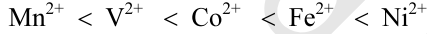


الشكل رقم (١١، ١). تأثيرات الارتباط من نوع π على Δ من معقد مانح π ومستقبل π .

إذن تلاحظ الاتجاهات التالية في Δ :



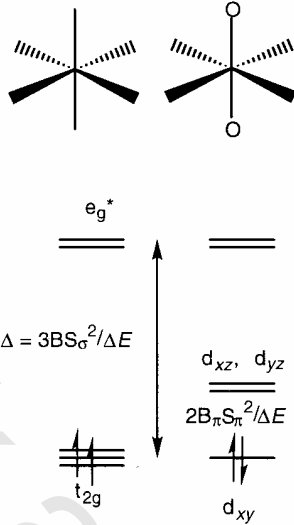
والتساهمية الزائدة في ربط الفلز مع الليجاند تقود كذلك إلى زيادة في Δ على طول السلاسل الانتقالية:



قد يستخدم نموذج الاثنلاف الزاوي لتقييم تأثير وجود واحد أو اثنين من مانحي π أو مستقبلية في معقد ثماني الأوجه مثلاً، في ترانس $[MO_2(OH_2)_4]$ و $[MO(OH_2)_5]$ فإن مدارات p_{π} لليجانداات الأكسيدية تأتلف كلية مع d_{xz} و d_{yz} ويبقى d_{xy} مداراً لا رابطاً.

مخطط الانقسام المداري ذو الصلة للمعقد $[MO_2(OH_2)_4]$ موضح بالشكل رقم (١٢، ١) ويفترض أن S_{σ} لكل من الليجاندا المائي والأكسيدي متساوٍ. من الواضح، إذا كانت قيمة $B_{\pi}S_{\pi}$ كبيرة، أي أن الليجاندا الأكسيدي مانح جيد لباي، فإن تأثيرات الارتباط من نوع π تدخل فجوة ثانوية في طيف المدارات الجزيئية داخل مجموعة t_{2g} .

فإذا كانت الفجوة أكبر من طاقة التزاوج فيفضل ترتيب منخفض المغزل، والمعقدات الترانس $[MO_2(OH_2)_4]$ بترتيب الكتروني d^2 شائعة ودائماً ديا مغناطيسية. ويمكن تطبيق تحليل مماثل على معقدات d^2 أحادية الأكسيد وهي ديا مغناطيسية كذلك.



الشكل رقم (١٢، ١). مخطط الانقسام المداري لترانس $[\text{MO}_2(\text{OH}_2)_4]$ موضعاً أثر الارتباط من نوع π .

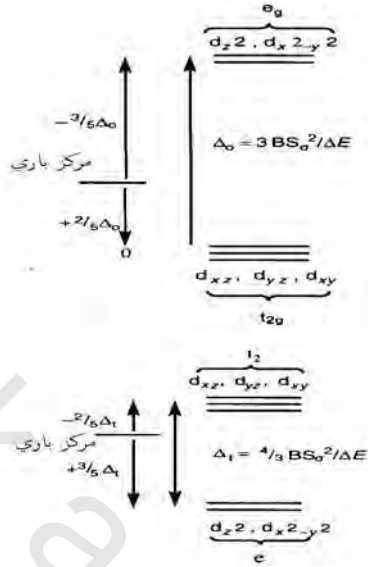
تبعات انقسامات مدار d في المعقدات ثمانية الأوجه

يحتاج تفسير السلسلات الطيفية الكيميائية إدراك لقوة التداخلات التساهمية في المتغيرات. ولكن، هناك كثير من الخواص المرتبطة بمعقدات العناصر الانتقالية التي تحتاج فقط لمعرفة أن هناك انقسام لمدارات d ومعرفة تجريبية للسلسلات الطيفية الكيميائية.

لمخطط المدارات الجزيئية الموضح بالشكل رقم (١٣، ١) مقياس للطاقة مرجعيته مدارات d اللارابطة. ولكن، هذا اختياري ويكون في بعض الأحيان أكثر سهولة لتعريف نقطة الصفر متوسط موزون لطاقات كل مدارات d.

إن المدارات الموضحة بالشكل رقم (١٣، ١) تقابل لتلك المدارات التي لها نسب عالية من صفة مدارات d. إن فرق الطاقة بقيمة $3BS\sigma^2/\Delta E$ بين مجموعة هذه المدارات يمكن أن يمثل بـ: Δ . بالنسبة لنقطة الصفر الموزونة على مقياس الطاقة (تعرف باسم مركز باري) فإن الطاقات ذات الصلة لمدارات d هي $+\frac{2}{5}\Delta(t_{2g})$ و $-\frac{3}{5}\Delta(e_g)$ كما

هو موضح بالشكل رقم (١٣، ١):



الشكل رقم (١٣، ١). الانقسامات ثمانية الأوجه ورباعية الأوجه لمدارات d. لاحظ أن نسبة الانقسامات

$$\frac{9}{4} \text{ المدارية تساوي}$$

يمكن استنتاج مخطط انقسام مداري مائل وذلك من نظرية المجال البلوري الألكتروستاتيكي وينتج هذا لأن كلا النموذجين يتضمنان مناحي التماثل الأساسية للمسالة.

الخواص المغناطيسية

طالما أن الترتيبات الالكترونية عالية ومنخفضة المغزل لها عدد كلي من المغازل غير المتزاوجة مختلفة (مثلاً الترتيب الالكتروني $(t_{2g})^4$ منخفض المغزل يقترن بمغزل كلي قدره $S = 1$ ، ولكن الترتيب الالكتروني $(e_g)^1$ و $(t_{2g})^3$ يعطي مغزلاً كلياً قدره $S = 2$).

يمكن التمييز بينها بعزمها البارامغناطيسية التي تتناسب مع $\sqrt{4S(S+1)} = \sqrt{n(n+2)}$ ، إذا أهملت آثار العزم الزاوي المداري. يعطي الجدول رقم (١.٨) بعض الأمثلة لمعقدات ثمانية الأوجه عالية ومنخفضة المغزل.

الجدول رقم (١,٨). بعض أمثلة المعقدات ثمانية الأوجه عالية ومنخفضة المغزل.

	عالية المغزل	منخفضة المغزل
d ⁴	$t_{2g}^3 e_g^1$ [MnF ₆] ³⁻	t_{2g}^4 [Mn(CN) ₆] ³⁻
d ⁵	$t_{2g}^3 e_g^2$ [Fe(C ₂ O ₄) ₃] ³⁻	t_{2g}^5 [Fe(CN) ₆] ³⁻
d ⁶	$t_{2g}^4 e_g^2$ [Fe(OH ₂) ₆] ²⁺	t_{2g}^6 [Fe(CN) ₆] ⁴⁻

يلخص الجدول رقم (١,٩) العزوم المغناطيسية لمعقدات الفلزات الانتقالية ثمانية الأوجه ذات الترتيب الالكتروني d¹-d⁸. تبين الأمثلة بوضوح البدائل الممكنة عالية المغزل (ع م) ومنخفضة المغزل (م م) للترتيبات الالكترونية d⁴ و d⁵ و d⁶ و d⁷. من المجدي ملاحظة أنه بالنسبة لهذه الأمثلة فإن المتغير عالي المغزل يقترن بليجانادات تقع في الجانب الأدنى من السلسلة الطيفية الكيميائية مثل F⁻، وتلك منخفضة المغزل تقترن بليجانادات مثل CN⁻. يقترح الجدول رقم (١,٩) أن معادلة المغزل فقط التي تهمل المساهمة في العزوم المغناطيسية تعمل جيداً بالنسبة لأغلب المعقدات. تماماً، فإن الاختلافات الملاحظة بالنسبة إلى d⁴ (م م) و d⁵ (م م) و d⁶ (ع م) و d⁷ (ع م) و d⁸ قد تنسب للمساهمة المدارية التي أهملت هنا.

الجدول رقم (١,٩). الخواص المغناطيسية لبعض المعقدات ثمانية الأوجه (n = عدد المغازل غير المتزوجة).

	بنية d الالكترونية	S= 1/2η	$\mu_{\text{eff}} = 2\sqrt{S(S+1)}$	مثال	μ_{eff} ملاحظ
d ¹	(t _{2g}) ¹	1/2	1.73	K ₃ TiF ₆	1.70
d ²	(t _{2g}) ²	1	2.83	K ₃ VF ₆	2.79
d ³	(t _{2g}) ³	3/2	3.87	[Cr(NH ₃) ₆ Cl ₃]	3.85
d ⁴ hs	(t _{2g}) ³ (e _g) ¹	2	4.90	K ₃ MnF ₆	4.95

تابع الجدول رقم (٩، ١).

بنية d الإلكترونية	S= 1/2η	$\mu_{\text{eff}} = \frac{2\sqrt{S(S+1)}}{2}$	مثال	μ_{eff} ملاحظ
d ⁴ ls (t _{2g}) ⁴ (e _g) ²	1	2.83	K ₃ Mn(CN) ₆	3.2
d ⁵ hs (e _g) ⁵	5/2	5.92	Na ₃ FeF ₆	5.85
d ⁵ is (t _{2g}) ⁵	1/2	1.73	K ₃ Fe(CN) ₆	2.4
d ⁵ hs (t _{2g}) ⁴ (e _g) ²	2	4.90	K ₃ CoF ₆	5.53
d ⁶ is (t _{2g}) ⁶	0	0	K ₄ Fe(CN) ₆	0
d ⁷ hs (t _{2g}) ⁵ (e _g) ²	3/2	3.87	CoCl ₂	5.03
d ⁷ is (t _{2g}) ⁶ (e _g) ¹	1/2	1.73	[Co(diars) ₃](ClO ₄) ₂	1.92
d ⁸ (t _{2g}) ⁶ (e _g) ²	1	2.83	[Ni(NH ₃) ₆ Cl ₂]	2.8
d ⁹ (t _{2g}) ⁶ (e _g) ³	1/2	1.73	[Cu(OH ₂) ₆] ²⁺	1.9

الآثار الترموديناميكية

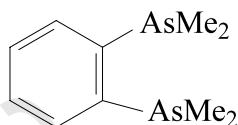
يلخص الجدول رقم (١٠، ١) طاقات الاستقرار للمعقدات ثمانية الأوجه عالية المغزل d⁰-d¹⁰. يرتفع الأثر من d⁰ و d⁵ إلى قمته عند d³ و d⁸.

هذه الفروقات في طاقات الاستقرار كدالة في ترتيب الكترولونات d تنعكس في مدى من المعلومات الترموديناميكية. إن انثالي التمييه بالنسبة إلى أيونات M²⁺ و M³⁺ وانثالي التكوين لهايديات أيونات MX₂ و MX₃ يتوقع لها أن تصبح أكثر سالبية على طول السلسلة بسبب التقلص في نصف القطر الذي ينتج من زيادة الشحنة النووية الفعالة.

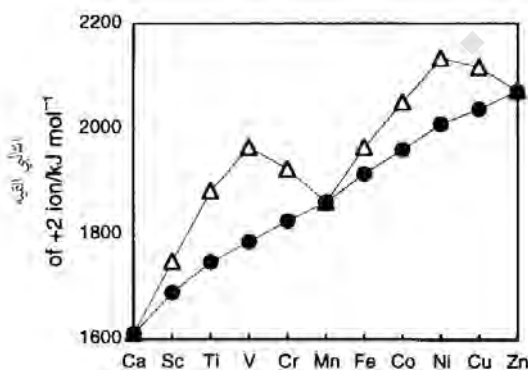
هذا هو تماماً الملاحظ كما هو موضح في الشكلين رقمي (١٤، ١، ١٥) ولكن هناك تشويشات متراكبة على المنحنيات الملساء المتوقعة والتي تعطي المنحنيات مظهر المحدودب الثنائي.

الجدول رقم (١٠, ١). طاقات استقرار المعقدات ثمانية الأوجه عالية المغزل.

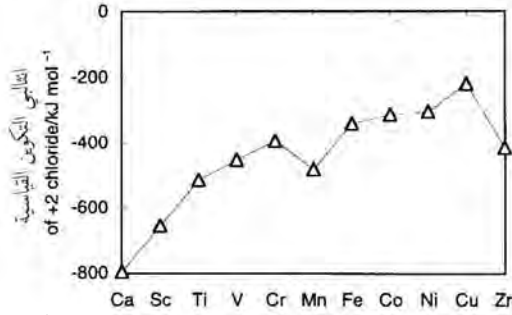
بنية d الإلكترونية	طاقة الاستقرار
d^0	0
d^1, d^6	$2/5 \Delta$
d^2, d^7	$4/5 \Delta$
d^3, d^8	$6/5 \Delta$
d^4, d^9	$3/5 \Delta$
d^5, d^{10}	0



يمكن إرجاع المساهمة الإضافية التي ينبثق منها هذا المظهر لطاقات الاستقرار المعطاة بالجدول رقم (١٠, ١). فإذا خصمنا هذه الطاقات الاستقرارية، فإن النقاط الناتجة توائم بطريقة أكثر قرباً منحني أملساً يمر من خلال النقاط للترتيبات الإلكترونية d^0 ، d^5 ، d^{10} التي لها طاقات استقرار صفرية (الشكل رقم ١٤, ١):



الشكل رقم (١٤, ١). انطالي التسمية (المتنات هي القيم الملاحظة، والدوائر المملوءة هي القيم الناتجة من خصم طاقات استقرار مدارات d) لأيونات M^{2+} بالسلسلة الأولى للعناصر الانتقالية.

الشكل رقم (١, ١٥). انثالي التكوين للمركب MCl_2 بالسلسلة الأولى الانتقالية.

أنصاف الأقطار التساهمية

يعرض الجدول رقم (١, ١١) أنصاف الأقطار التساهمية للفلزات الانتقالية في حالات الأكسدة II و III. وينتج الانكماش الكلي في أنصاف الأقطار على طول السلسلة من الزيادة في الشحنة النووية الفعالة، ولكن متراكبة عليها آثار الانقسام المداري. المدارات e_g نابذة للارتباط وبالتالي فإن احتلالها يقود إلى روابط طويلة بين الفلز والليجانند. أي أن أنصاف الأقطار ترتفع بالنسبة إلى معقدات d^4 و d^5 عالية المغزل حيث أن مدارات e_g تكون مسكونة.

الجدول رقم (١, ١١). أنصاف الأقطار للأيونات M^{II} و M^{III} بالسلسلة الأولى الانتقالية.

فلز	الترتيب الإلكتروني وأنصاف الأقطار التساهمية	
	M^{II}	M^{III}
Ti	$166(t_{2g})^2$	$147(t_{2g})^1$
V	$159(t_{2g})^3$	$144(t_{2g})^2$
Cr	$160(t_{2g})^3(e_g)^1$	$142(t_{2g})^3$
Mn	$163(t_{2g})^3(e_g)^2$	$145(t_{2g})^3(e_g)^1$
Fe	$158(t_{2g})^4(e_g)^2$	$145(t_{2g})^3(e_g)^2$
Co	$155(t_{2g})^5(e_g)^2$	$141(t_{2g})^4(e_g)^2$
Ni	$149(t_{2g})^6(e_g)^2$	$140(t_{2g})^5(e_g)^2$
Cu	$153(t_{2g})^6(e_g)^3$	

تقود الصفات المختلفة للمدارات t_{2g} و e_g كذلك إلى فروق دراماتيكية في أنصاف الأقطار بين المعقدات عالية ومنخفضة المغزل. بعض الأمثلة النموذجية ملخصة بالجدول رقم (١٢، ١). الجدير بالملاحظة هو أن للمعقدات منخفضة المغزل دائماً أنصاف الأقطار الأصغر، وذلك بسبب أن تفريغ مدارات e_g النابذة للارتباط ينتج منه تقوية للروابط بين الفلز والليجاندا.

الجدول رقم (١٢، ١). أنصاف الأقطار للأيونات الفلزية ذات الترتيب الإلكتروني d^{4-7} عالية ومنخفضة المغزل.

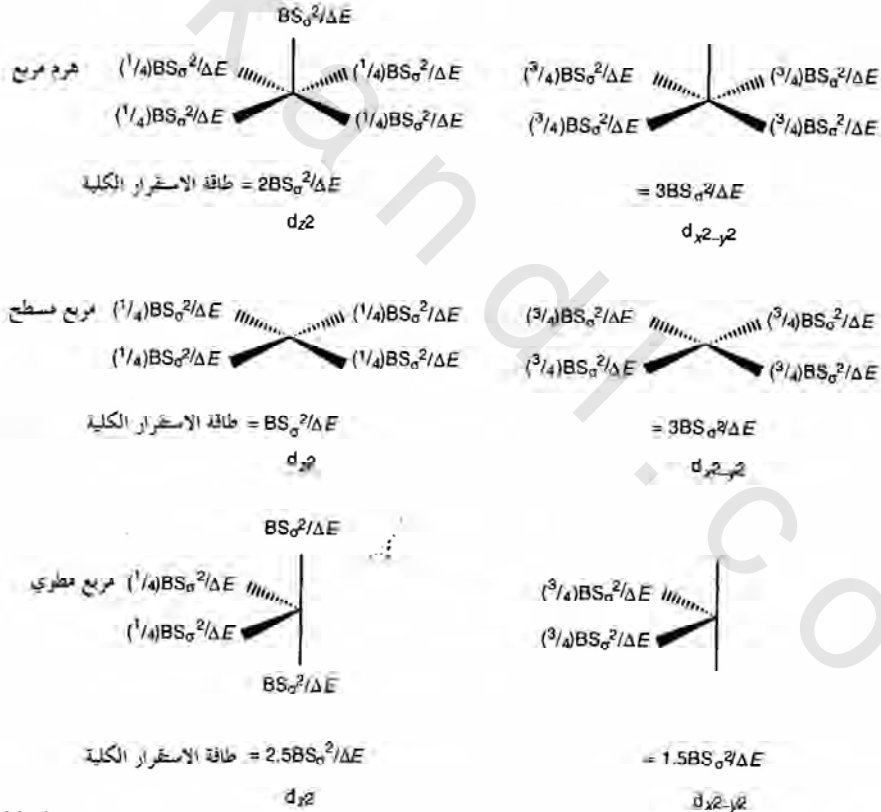
بنية d الالكترونية	عالي المغزل	نصف القطر /pm	منخفض المغزل	نصف القطر
$d^4 Cr^{2+}$	$(t_{2g})^3(e_g)^1$	160	$(t_{2g})^4$	150
$d^5 Mn^{2+}$	$(t_{2g})^3(e_g)^2$	163	$(t_{2g})^5$	147
$d^6 Fe^{2+}$	$(t_{2g})^4(e_g)^2$	158	$(t_{2g})^6$	141
$d^7 Co^{2+}$	$(t_{2g})^5(e_g)^2$	155	$(t_{2g})^6(e_g)^1$	145

التبعات الهندسية

يمدنا نموذج الائتلاف الزاوي بطريقة مريحة لحساب انقسامات مدارات d في معقدات العناصر الانتقالية لذا فإنه مفيد جداً في تقدير الاستقرار النسبية للبنيات الهندسية التناسقية البديلة وتتبع الأثر على الأشكال لمدارات d عند إزاحة وإضافة الليجاندا. إن الطبيعة التزاوجية لطاقة الاستقرار المتضمنة لليجاندا ومدار d للفلز تجعل عملية تقييم أثر إزاحة الليجاندا من المحيط التناسقي سهلة عملياً.

في الشكل رقم (١٦، ١) يتتبع أثر إزاحة الليجاندا بطريقة تتابعية من ثماني الأوجه. فقدان ليجانداً واحداً على طول المحور z الشيء الذي يولد هراً مربع القاعدة، يتلخص عنه فقدان طاقة استقرار قدرها $BS_{\sigma}^2/\Delta E$ بالنسبة لمدار d_z^2 ، ولكن ليس له أثر على $d_{x^2-y^2}$ لأنه لا يوجد أي ائتلاف بين ليجاندا موضع على المحور z و $d_{x^2-y^2}$.

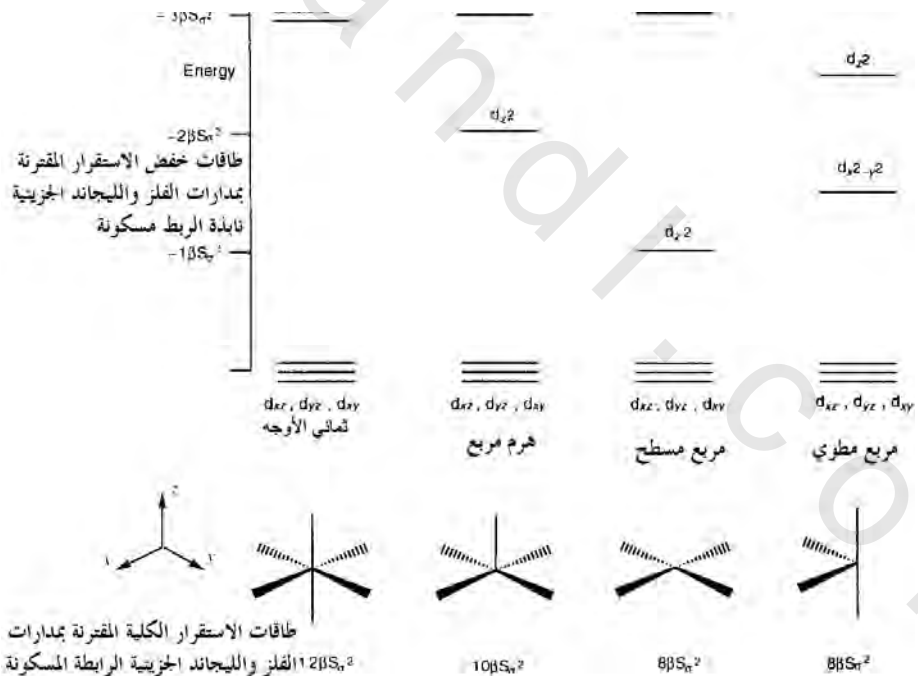
كذلك يشير الشكل رقم (١,١٦) إلى أن إزاحة ليجانداً ثانياً من المحور z ، الشيء الذي ينتج عنه بنية هندسية مربعة مسطحة، تتسبب في تخفيض أكثر قدره $BS_{\sigma}^2/\Delta E$ في طاقة الاستقرار المقترنة بالمدار d_z^2 ، ولكنها لا تؤثر على $d_{x^2-y^2}$. ولكن إذا أزيح اثنان من الليجانداً من الموقع سيس من ثماني الأوجه ليوولد مربع مطوي رباعي التناسق، وبالتالي فإن فقدان الاستقرار بالنسبة إلى d_z^2 هو فقط $0.5 BS_{\sigma}^2/\Delta E$ ، لأن الليجانداً تتداخل فقط مع (ياقة) مدار d_z^2 في حين أن الفقد بالنسبة إلى $d_{x^2-y^2}$ هو $1.5 BS_{\sigma}^2/\Delta E$.



الشكل رقم (١,١٦). طاقات الاستقرار للمدارات الجزيئية الرابطة الناتجة من مدارات d_z^2 و $d_{x^2-y^2}$ في بيئة هرم مربع القاعدة، ومربع مسطح ومربع مطوي.

يمكن أن تستخدم طاقات الاستقرار هذه لإنشاء مخطط مستويات الطاقة المبين في الشكل رقم (١,١٧). يقتضي هذا الشكل الأثر الناتج من فقدان الليجاندا على طاقات مدارات d في أشكالها المتعددة وكذلك طاقات الاستقرار المقترنة بالمدارات الجزيئية الرابطة والجدير بالملاحظة خاصة هو أن فقداً ما قدره $2BS_0^2/\Delta E$ بالنسبة للأخير في كل مرة يبعد فيها ليجاندا من المحيط التناسقي.

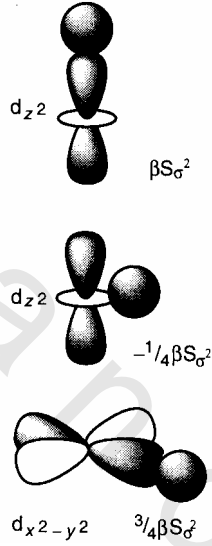
لقد استبدلت $B/\Delta E$ في الشكل رقم (١,١٧) بـ β لأنه لو افترضنا أن كل المعقدات في سلسلة ما لها نفس الليجاندا وأطوال روابط متساوية فإنه سيكون ليس هناك اختلاف في ثابت التناسب وفرق الطاقة ΔE ، بين الفلز والليجاندا.



الشكل رقم (١,١٧). الانقسامات المدارية في معقدات ثمانية الأوجه.

خطوات مختصرة

انقسامات مدارات d بالنسبة لهذه الأجزاء التي أساسها البنية ثمانية الأوجه يمكن اشتقاقها بسرعة بتذكر مساهمات طاقة الاستقرار الرئيسة.



إن طاقة الاستقرار المقترنة بمدار معين من d هي مجموع المساهمات الفردية من كل رابطة بين الفلز والليجاندا. يمكن تدقيق طاقات الانقسام لمدارات d النهائية بمعرفة أن في معقد مثل ML_n فإن المجموع الكلي لطاقات مدارات d يجب أن تساوي $-nBS_\sigma^2$.
البيانات الهندسية المربعة المطلوبة توصف أيضاً كبنية هندسية.

إن طاقة الاستقرار الكلية المقترنة بمدارات جزيئية رابطة للفلز والليجاندا مسكونة ثنائياً في معقد من النوع

$$ML_n \text{ تساوي دائماً } (2nBS_\sigma^2 / \Delta E(2nBS_\sigma^2))$$

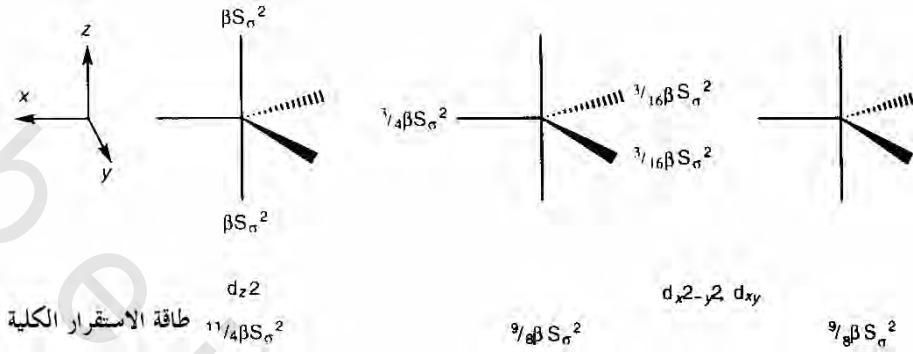
إن الطريقة التي تنشأ بها طاقات انقسام مدارات d لسلسلة من المعقدات بالإزاحة المتتابعة لليجانادات يمكن أن تمتد لسلاسل أخرى من الجزئيات. مثلاً، بالنسبة إلى ثنائي الهرم المثلث فإن الإحداثيات القطبية ذات الصلة ومكاملات الائتلاف المحسوبة من الجدول رقم (١،٢) بالنسبة لليجانادات الاستوائية معطاة بالجدولين رقمي (١،١٣) ، (١،١٤). طاقات الاستقرار ومخططات انقسام مدار d موضحة بالشكلين رقمي (١،١٨) ، (١،١٩).

الجدول رقم (١،١٣). إحداثيات قطبية (°) لمعقد ثنائي الهرم مثلث.

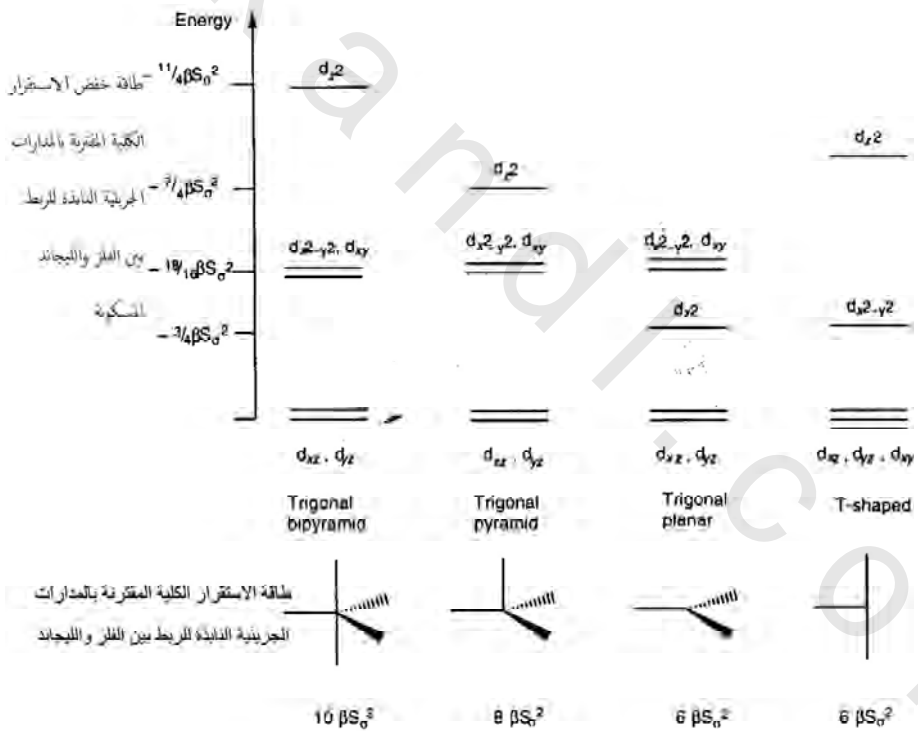
موقع الليجاناد	θ	ϕ
1	0	0
2	90	0
3	90	120
4	90	240
5	180	0

الجدول رقم (١،١٤). مكاملات الائتلاف المحسوبة لليجانادات الاستوائية في ثنائي الهرم المثلث.

الموقع	2	3	4
$\phi(0)$	0	120	240
$S(d_z, \sigma)$	$-1/2S_\sigma$	$-1/2S_\sigma$	$-1/2S_\sigma$
$S(d_x, \sigma)$	$\sqrt{3/4}S_\sigma$	$-\sqrt{3/4}S_\sigma$	$\sqrt{3/4}S_\sigma$
$S(d_{xy}, \sigma)$	0	$3/4S_\sigma$	$3/4S_\sigma$
$S(d_{xz}, \sigma)$	0	0	0
$S(d_{yz}, \sigma)$	0	0	0



الشكل رقم (١٨، ١). طاقات الاستقرار الكلية لمدارات d المشاركة في السطح الاستوائي في معقد ثنائي الهرم مثلث.



الشكل رقم (١٩، ١). الانقسامات المدارية لمعدنات تنسب إلى الهرم الثنائي المثلث.

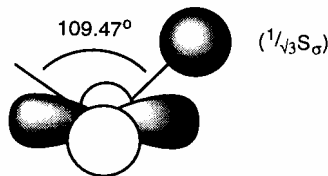
بالنسبة إلى معقد رباعي الأوجه ، فإن الإحداثيات القطبية لليجانداات معطاة بالجدول رقم (١,١٥) ومكاملات الاثنلاف المحسوبة بالنسبة لصيغ حساب المثلثات في الجدول رقم (١,٢) ملخصة بالجدول رقم (١,١٦). ويوضح الاثنلاف بين مدارات الليجاندا ومدار d_{xy} للفلز لمعقد رباعي الأوجه في الشكل رقم (١,٢٠).

الجدول رقم (١,١٥). إحداثيات قطبية (°) لمعقد رباعي الأوجه.

موقع الليجاندا	θ	ϕ
1	109.47/2	45
2	109.47/2	225
3	180-109.47/2	135
4	180-109.47/2	315

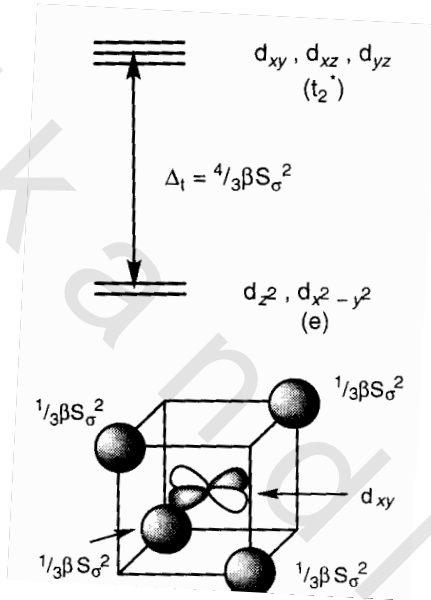
الجدول رقم (١,١٦). مكاملات الاثنلاف لمعقد رباعي الأوجه.

الموقع	1	2	3	4
ϕ (°)	45	225	135	315
$S(d_z, \sigma)$	0	$0\sqrt{3}$	0	0
$S(d_{x^2-y^2}, \sigma)$	0	0	0	0
$S(d_{xy}, \sigma)$	$1/\sqrt{3}S\sigma$	$1/\sqrt{3}S\sigma$	$-1/\sqrt{3}S\sigma$	$-1/\sqrt{3}S\sigma$
$S(d_{xz}, \sigma)$	$1/\sqrt{3}S\sigma$	$-1/\sqrt{3}S\sigma$	$1/\sqrt{3}S\sigma$	$-1/\sqrt{3}S\sigma$
$S(d_{yz}, \sigma)$	$1/\sqrt{3}S\sigma$	$-1/\sqrt{3}S\sigma$	$-1/\sqrt{3}S\sigma$	$1/\sqrt{3}S\sigma$



الشكل رقم (١,٢٠). الاثنلاف بين مدار الليجاندا ومدار d_{xy} بالفلز في معقد رباعي الأوجه.

مخططات التداخل ذات الصلة والائتلافات مبينة في الشكل رقم (١.٢١). في معقد ثماني الأوجه فإن الطاقات المدارية للمدارات d_{xy} ، d_{yz} ، d_{xz} و $d_x^2 - y^2$ و d_z^2 معكوسة بالنسبة إلى تلك ذات ثماني الأوجه والانقسام المداري هو $\frac{4}{9}\Delta$.



الشكل رقم (١.٢١). طاقات التداخل المداري ومخطط الطاقة في معقد رباعي الأوجه.

يمكن أن تستخدم مخططات الانقسام المداري المحسوبة أعلاه لتعطي رؤية داخلية للمرجعيات الهندسية بالنسبة لأعداد تناسق معينة. يلخص الجدول رقم (١.١٧) المعلومات ذات الصلة بالنسبة لمعقدات رباعية الأوجه ، ومربعة مسطحة ومربعة مطوية وهرمية مثلثة.

ويشار إلى إسكان الإلكترونات في مدارات d في العمود على اليسار بالجدول.

الجدول رقم (١٧، ١). ملخص لطاقات الاستقرار الصافية (بوحدة βS_{σ}^2) لمعقدات رباعية التناسق.

الالكترونات d	الترتيب (a)	رباعي الأوجه	مربع مسطح	مربع مطوي	هرم مثلث
d^{10}	22222	0	0	0	0
d^9	22221	1.33	3.00	2.50	1.75
d^8	22220	2.67	6.00	5.00	3.50
d^8	22211	2.67	4.00	4.00	2.875
d^7	22111	4.00	4.00	4.00	4.00
d^6	22200	5.33	8.00	8.00	5.75
d^5	11111	4.00	4.00	4.00	4.00
d^0	00000	8.00	8.00	8.00	8.00

(a) هذه الإشارات تمثل احتلال مدارات d وأكثر المدارات استقراراً ممثلاً في اليسار.

للمعقدات $d^0(00000)$ ، عالية المغزل $d^5(11111)$ ، $d^{10}(22222)$ طاقات استقرار متساوية وبالتالي، فإن بنيتها الهندسية المفضلة لا تتأثر بانقسامات مدارات d ذات الصلة. وطاقات الاستقرار هي $8 \beta S_{\sigma}^2$ ، و $4 \beta S_{\sigma}^2$ ، و $0 \beta S_{\sigma}^2$ بالترتيب. نحصل على أعلى طاقات استقرار عندما تكون مدارات d فارغة ويتحقق أعلى استقرار مقترن بالمدارات الجزئية للفلز والليجانند ($2n \beta S_{\sigma}^2$ حيث $4=n$ في هذه الحالة).

يعطي الغلاف نصف الممتلئ ارتفاعاً إلى $n \beta S_{\sigma}^2$ فقط لأن المدارات النابذة للارتباط الموضوعة على الفلز نصف ممتلئة وليس لـ d^{10} محصلة طاقات استقرار لأن هذه المدارات ممتلئة ثنائياً.

في هذه الحالات، فإن البنية الهندسية للمعقدات تحدد بطاقات التنافر بين الليجانند والليجانند. وهذه ملخصة بالنسبة إلى رباعي الأوجه الذي يوضع الليجانندات متباعدة أكثر عن المتوسط.

يعطي الجدول رقم (١٨، ١) أمثلة لمعقدات رباعية الأوجه محددة تقترن بالبنية الإلكترونية d^0 و d^5 (عالية المغزل) و d^{10} .

الجدول رقم (١٨، ١). أمثلة لمعقدات عناصر انتقالية رباعية الأوجه.

d^0	d^5 (عالية المغزل)	d^{10}
TiCl ₄	[MnCl ₄] ²⁻	Ni(CO) ₄
OsO ₄	[FeCl ₄] ⁻	[Cu(NCCH ₃) ₄] ⁺
[OsO ₃ N] ⁻		Pt(PMe ₃) ₄

يتضح كذلك من الجدول رقم (١٧، ١) أن ليس للمعقدات التي لها البنية الإلكترونية (22111)، أي حيث تكون المدارات d_{xy} ، d_{yz} ، d_{xz} في رباعي الأوجه نصف ممتلئة، خيارات مفضلة.

يتوقع أن تكون هذه المعقدات رباعية الأوجه، ويمدنا الكوبالت (II) بعدة أمثلة لمثل هذه المعقدات رباعية الأوجه، مثال، $[CoCl_4]^{2-}$ و $[Co(NCS)_4]^{2-}$.

تظهر المعقدات d^8 (22220) منخفضة المغزل ميلاً واضحاً نحو البنيات الهندسية المربعة المسطحة وبالتالي، فإنه ليس من المستغرب أن توجد كثير من هذه المعقدات وبالذات لفلزات الصف الثاني والثالث الانتقالية حيث βS_{σ}^2 كبيرة نتيجة لكبر مكاملات ائتلاف الفلز والليجاندا. بالنسبة إلى فلزات الصف الأول الانتقالية فإن βS_{σ}^2 ليست بذلك الكبر وموازنة جيدة تنتج بالنسبة للبنيات الهندسية رباعية الأوجه والمربعة المسطحة. وبما أن الآثار الإلكترونية تفضل بنية هندسية مربعة مسطحة والتنافر بين الليجاندا والليجاندا وبالتالي، فإن البنية الهندسية رباعية الأوجه يزداد ميلها نحو البنية رباعية الأوجه حين يزداد التنافر بين الليجاندا والآخر. مثلاً معقدات $[NiCl_2(PR_3)_2]$ حيث للفوسفينات زاوية مخروطية صغيرة تفضل البنيات الهندسية المربعة المسطحة في حين أن الفوسفينات الكبيرة تفضل بنية رباعية الأوجه. وملفت للاهتمام أن معقدات d^8 ذات البنية المربعة المسطحة تتبنى بغير استثناء ترتيباً منخفض المغزل لأن ذلك يقود إلى طاقة استقرار عالية. وهكذا، فإن تحويل البنية من بنية مربعة مسطحة إلى رباعية الأوجه قد صاحبه تغييراً في حالة المغزل طالما أن للأخير إلكترونين منفردين في مدارات t_{2g} (d_{xy} ، d_{yz} ، d_{xz}). علماً بأن المعقدات رباعية الأوجه تُفضل بالنسبة

إلى d^{10} والمربع المسطح بالنسبة إلى d^8 فبالتالي لن يكون مستغرباً كثيراً أن تظهر معقدات d^9 مدى واسعاً للبنى الهندسية التي تقع بين هذين النموذجين الهندسيين. بالنسبة إلى معقدات d^6 منخفضة المغزل (22200) فإن للبنى المربعة المسطحة والمربعات المطوية طاقات متساوية وكلاهما أكثر استقراراً بكثير من رباعي الأوجه أو الهرم المثلث.

إن المعطيات البنائية العملية المتاحة تقترح أن المربع المطوي هو أكثر بنية هندسية مستقرة. إن التحليل أعلاه قد أهمل آثار الارتباط من نوع π فإذا أخذت هذه في الاعتبار فبالتالي فإن المربع المطوي القادر على أن يستخدم مدارات d_{xy} , d_{yz} , d_{xz} بفعالية أكبر في الارتباط من نوع π يقود إلى بنية هندسية أكثر استقراراً. ويمدنا $Cr(CO)_4$ الذي درس في نسيج غاز خامل بمثل محدد لمثل هذا المعقد d^6 .

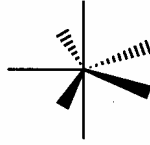
يلخص الجدول رقم (١,١٩) انقسامات مدارات d لبنيات هندسية تناسقية عامة أخرى حسب استخدام نفس المبادئ كتلك التي وُضحت أعلاه.

الجدول رقم (١,١٩). طاقات المدارات d الخمسة في معقدات مختلفة البنيات الهندسية وأعداد التناسق وطاقاتها الكلية بوحدات βS_0^2 .

البنية	الطاقات الكلية					
	d_{z^2}	$d_{x^2-y^2}$	d_{xz}	d_{yz}	d_{xy}	في مدارات d للفلز
منشور مثلث ثلاثي الغطاء	-1.2796	-1.6191	-2.2441	-2.22441	-1.6191	-9.0000
مربع منشوري معكوس	0.0000	-1.3333	-2.6667	-2.6667	-1.3333	-8.0000
عشريين الأوجه	-1.3873	0.0000	-1.8551	-1.8551	-2.9026	-8.0000
منشور مثلث ثنائي الغطاء	-1.0296	-1.4316	-2.2411	-2.2411	-1.0566	-8.0000
ثنائي الهرم خماسي الأوجه	-3.2500	-1.8750	0.0000	0.0000	-1.8750	-7.0000
منشور مثلث مغطى	-0.7796	-0.6816	-2.2411	-2.2411	-1.0566	-7.0000
منشور مثلث	-0.5296	-0.4941	-2.2411	-2.2411	-0.4941	-6.0000



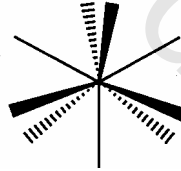
ثمانى الأوجه



ثنائى الهرم خماسى الأوجه



ذو الأوجه العشرة

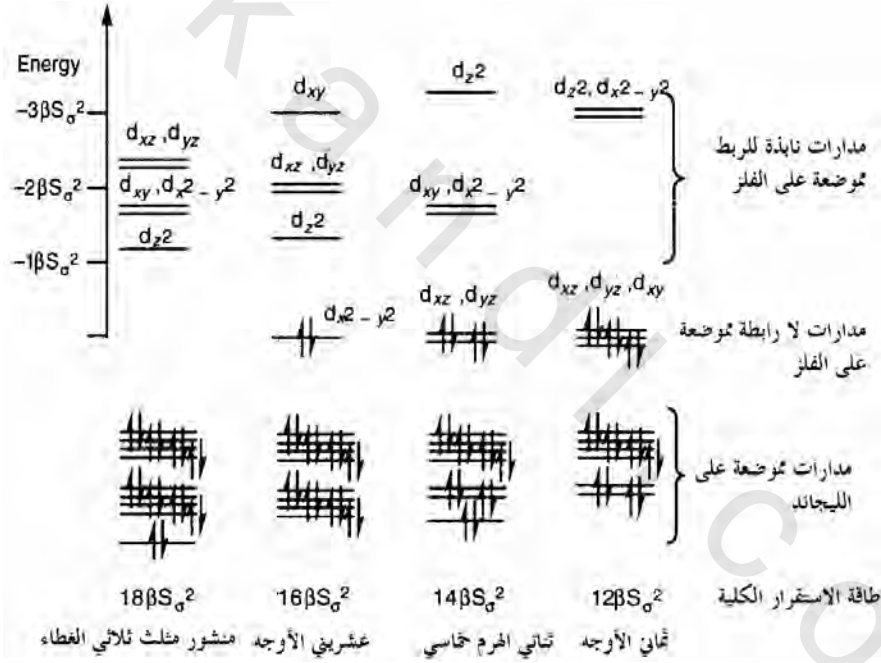


منشور ثلاثى الأوجه ثلاثى الغطاء

إن هذه المعطيات مفيدة لتعميم التحليل الهندسي لأعداد تناسق أخرى. كما أنها يمكن أن تستخدم أيضاً لتطوير تعميماً أوسع. مثلاً، إن انقسامات مدارات d الموضحة بالشكل رقم (١,٢٢) تمدنا برؤية عن العوامل الالكترونية المسئولة عن قاعدة العدد الذري الفعّال. هذه التتابعية تزداد في عدد المدارات اللارابطة الموضوعة على الفلز كلما قل عدد الليجانادات من 9 إلى 6. بالنسبة إلى أعداد التناسق المنخفضة، فإن الالتزام بقاعدة العدد الذري الفعّال قد يتحقق فقط إذا كانت المدارات نابذة للارتباط على

طول الروابط بين الفلز والليجاندا ممتلئة. إن هذه الآثار للارتباط النابذة تخفف بآثار المنح الراجع من نوع π واختلاط مدارات d و p.

إن مدارات p الواقعة في الأعلى لا تعتبر في التبسيط للاختلاف الزاوي. ولكن بالنسبة إلى ثنائي الهرم المثلث ورباعي الأوجه والمثلث المسطح، فإن البعض أو الكل من مدارات p يوائم تماثل مدارات d النابذة للارتباط، واختلاط مدارات d و p يختزل صفتها النابذة للارتباط.



الشكل رقم (١، ٢٢). نشوء المدارات الجزيئية للمعقدات ذات العدد التناسقي 9 - 6 التي توضح تطبيق قاعدة العدد الذري الفعال (١٨ إلكترون).